

合掌ブロックの特性について*

永井莊七郎**・大坪崇彦***・遠藤正男****

1. 緒 言

わが国においては約 10 年ほど前から、捨石防波堤の被覆、混成堤の直立部前面の根固めあるいは波力に対する補強、埋立地周囲の防波護岸あるいは海岸堤防前面の消波堤の被覆などのために種々の異形コンクリートブロックが、多量に使用されるようになった。この傾向は数年前から諸外国においても見られるようになったが、とくにわが国においては、

- ① 大きな波浪に曝された防波堤が非常に多いこと、
 - ② 深い水深における埋立地の造成が非常に盛んであること、
 - ③ 大きな捨石を多量に入手することが困難で、したがって価格が高いこと、
 - ④ 強い波浪に曝された海岸線が長いこと、などの特殊な事情によって、世界でも最も多くの種類の異形コンクリートブロックが、しかも最も多量に使用されるようになった。したがって異形コンクリートブロックに関する基礎的知識、および実施上の技術も最も進んでいるといって差し支えないであろう。

大洋に面した海岸線が長いアメリカ、ノールウェイなどにおいては大きな捨石が多量に比較的安価に入手できるので、異形コンクリートブロックの使用量は比較的小なく、時々ハリケーンに見舞われるマルセユ港(フランス)、ゼノバ港(イタリア)などの大防波堤の被覆には、今日なお40~60tの巨大な直方体のコンクリートブロックを多量に使用している状態である。

現在わが国の港湾、海岸、河川などに数種の異形コンクリートブロックが、消波用あるいは水流の減勢用に使用されているが、これらのブロックは消波能力あるいは安定性においてそれぞれ優れた特長を持っている。しかしさらに進んで従来の異形コンクリートブロックよりも消波能力および安定性において優れたコンクリートブロックを開発するため諸種の実験を行なってきたが、最近ほぼこの目的にかなった異形ブロックを造ることができたので、ここにその概要を発表する。

2. 合掌ブロックの形状および寸法

新しく開発した合掌ブロックは図-1に示すごとく、3本の柱を交差してできている。図-2は形状寸法、表-1は1個の重量が0.5~6.0t ブロックの寸法表である。図-3はこのブロックを1層積にした状態を示す。このブロックの特徴は図-4に示すように、使用目的に応じて（たとえば安定性を必要とするときは相互のかみ合せをよくするために密に積み、とくに消波効果を期待するときは粗に積むなど）縦、横方向の据付間隔を変

図-1 合掌ブロック 2t

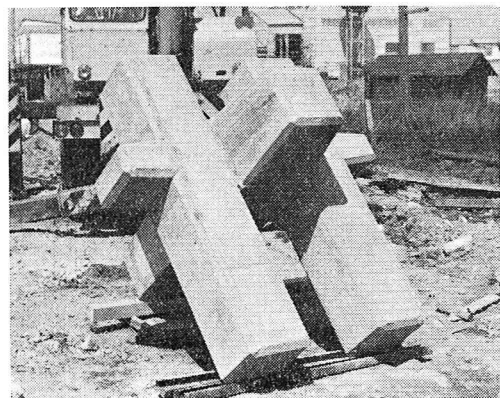


図-2 両掌ブロックの形状寸法

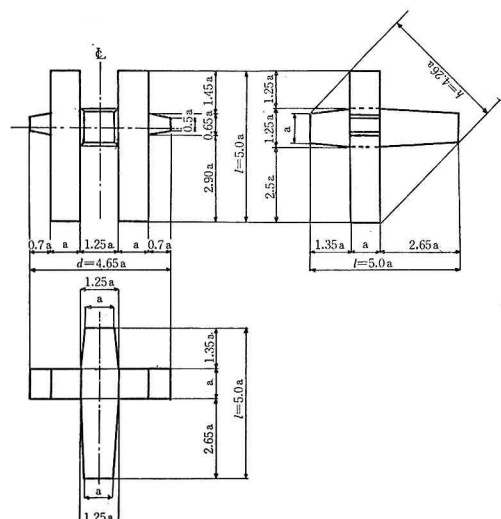


表-1 合掌ブロックの寸法および諸元

	形式 係数	0.5t	1.0t	2.0t	3.0t	4.0t	5.0t	6.0t
a (m)	1.00a	0.230	0.300	0.370	0.420	0.470	0.500	0.530
d (m)	4.65a	1.070	1.395	1.721	1.953	2.186	2.325	2.465
l (m)	5.00a	1.150	1.500	1.850	2.100	2.350	2.500	2.650
h (m)	4.26a	0.980	1.278	1.576	1.789	2.002	2.100	2.258
コンクリート体積(m ³)	17.45a ³	0.212	0.471	0.884	1.293	1.812	2.181	2.598
重量(t)	40.135a ³	0.488	1.084	2.033	2.974	4.167	5.017	5.975
型わく面積(m ²)	60.41a ²	3.20	5.44	8.27	10.66	13.35	15.10	16.97

図-3 合掌ブロック正層1層積

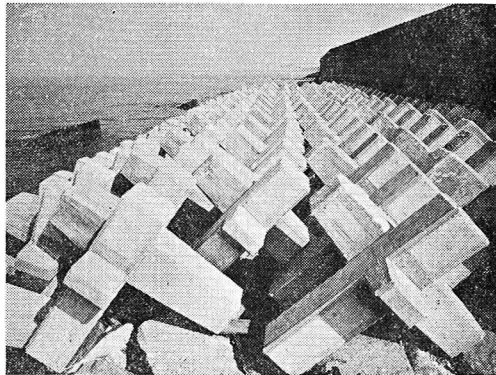
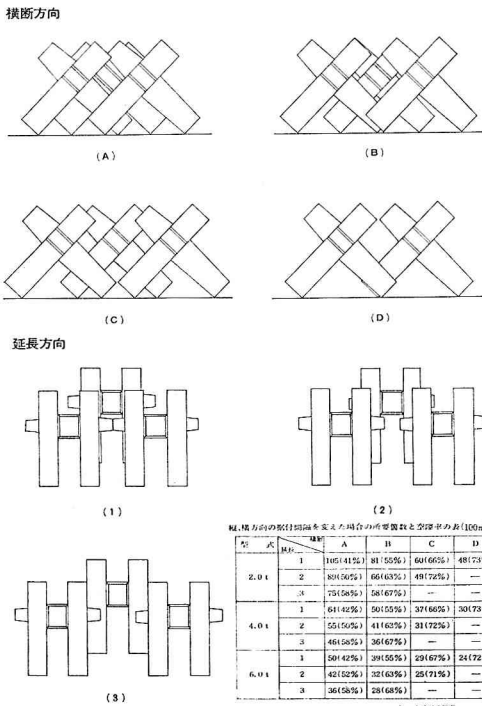


図-4 ブロック据付方法



え、所要個数と空げき率を変えることができる。また従来使用されてきた消波ブロックは一般に2層積であるが、合掌ブロックは1層積によって従来のブロックの2層積に劣らぬ消波能力を持っていて、しかも安定性がきわめて良いことである。

3. 合掌ブロックの安定性

(1) 実験方法

異形ブロックの安定性を定量的に表わす一つの目安としてハドソン式中の K_d が用いられる。

$$W = \frac{w_r \cdot H^3}{K_d (w_r/w_0 - 1)^3 \cot \theta}$$

ただし、

W: ブロック重量 (t)

H: 設計波高 (m)

w_r : ブロックの単位体積重量 (t/m³)

w_0 : 水の単位体積重量 (t/m³)

θ : 堤のり面が水平面となす角

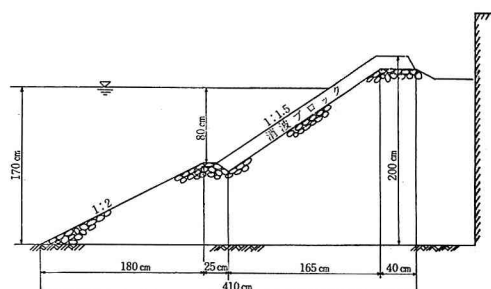
K_d : ブロックの種類による安定係数

上式では係数 K_d が大きいほどブロックの安定性が良い。

実験は合掌ブロック 6t の 1/20 模型および 2t の 1/10 模型をモルタルで作り、大型水槽（長さ 60 m、幅 10 m、深さ 2.5 m）および風洞付波浪水槽（長さ 50 m、幅 1.0 m、深さ 1.65 m）で安定性を調べた。

実験波浪は現地に換算して、波高 $H_p=2.0\sim9.0$ m、周期 $T_p=6.0\sim12.0$ sec、波形勾配 $H/L=0.020\sim0.070$ である。実験断面は図-5 に示すとおりで、のり勾配は 1:1.5 とし、正層積および乱積の場合について実験を行なった。正層積の場合、実際に施工される場合を考慮してブロック相互の間隔を拡げて一番密に積んだ場合の 62~79% にブロック個数を減じた。

図-5 安定性実験の断面図
(大型水槽、現地に対する実験縮尺 1/10)



(2) 実験結果と考察

実験結果は表-2 に示すごとくである。図-6 は大型

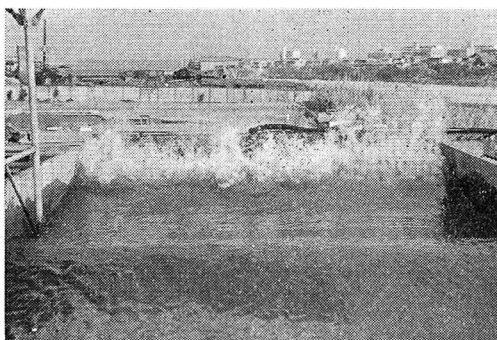
図-6 大型水槽における安定実験状況

実験条件: 周期 $T_p=8.0 \text{ sec}$ 波高 $H_p=5.0 \text{ m}$

(a) 波の衝突前

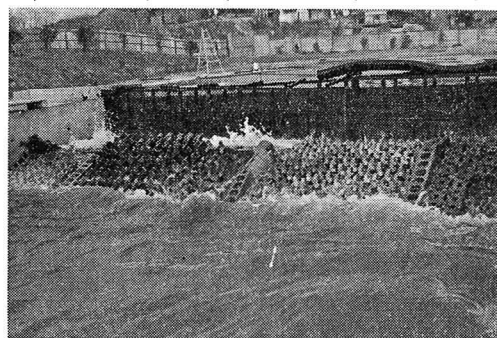


(b) 波が衝突したとき



(c) 波が衝突した直後

合掌ブロック 0.75t 移動
↓
三柱ブロック 6t 安定
↓
テトラボッド 1.5t 転落
↓
合掌ブロック 2t 安定
↓
ホロースケア 2t 転落
↓



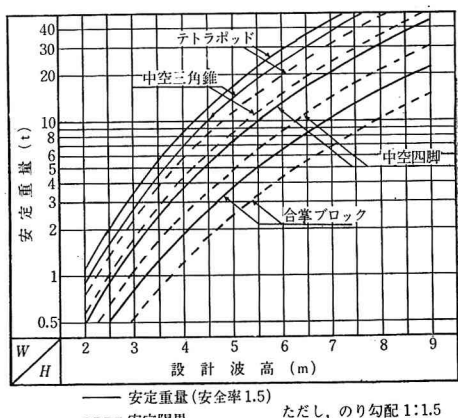
水槽で行なった安定実験の一例を示す。この実験は現地に換算した波の周期 $T_p=8.0 \text{ sec}$, 波高 $H_p=5.0 \text{ m}$ のときである。表-2 はこのような実験をたびたび行なって得た結果である。表-2 より合掌ブロック 6t 正層積 1 層積は現地に換算した波の波高 8.4m まで十分安定であった。この場合ハドソン式の K_d は 80 である。今回の実験で求めた他のブロックの K_d の値は同表に示すごとく、いままで当実験水槽で得られた値とほぼ同じであって、テトラボッド $K_d=8 \sim 9.5$, 中空三角錐ブロック $K_d \approx 11$, ホロースケア $K_d \approx 20$ であった。乱積の場合には合掌ブロックの K_d はほぼ 23 である。他の異形

表-2 各種ブロック安定実験 (1:1.5 勾配)

100m ² 当たりの 個数	密度 (%)	空けき率 (%)	波の特性			K_d	
			H_p (m)	T_p (sec)	H/L		
合掌ブロック 2.0t 正層積 1層						(大型水槽 1/10 実験)	
82	78	54	5.0	8.0	0.059	50以上	安定
65	62	64	5.0	8.0	0.059	50以上	安定
55	52	69	5.0	8.0	0.059	50以上	安定
合掌ブロック 6.0t 正層積 1層 (風洞水槽, 大型水槽 1/20 実験)							
39	78	55	8.4	11.2	0.050	80	
31	62	64	8.4	11.2	0.050	80	
31	62	64	9.0	11.2	0.053	90	移動
合掌ブロック 6.0t 乱積 (風洞水槽 1/20 実験)							
32	64	63	5.6	10.0	0.050	23	
32	64	63	6.0	10.0	0.054	28	
テトラボッド 2.0t 正層積 2層 (大型水槽 1/10 実験)							
94	—	52	2.6	8.0	0.031	7	
94	—	52	3.0	8.0	0.035	11	
中空三角錐 6.0t 正層積 2層 (大型水槽 1/20 実験)							
42	—	66	4.0	8.5	0.037	9	
42	—	66	4.4	8.5	0.041	11	
中空四脚ブロック 2.0t 正層積 2層 (大型水槽 1/10 実験)							
93	—	49	3.4	8.0	0.040	16	
93	—	49	3.8	8.0	0.045	22	
三柱ブロック 6.0t 正層積 1層 (大型水槽 1/20 実験)							
32	95	60	7.5	11.2	0.045	60	
32	95	60	8.4	11.2	0.050	80	

図-7 各種消波ブロックの安定重量

ブロックの種類	積方	K_d	安定限界	安定重量 (安全率1.5)
合掌ブロック	正層積	40以上	$W=0.02 H^3$	$W=0.03 H^3$
	乱積	23	$W=0.03 H^3$	$W=0.05 H^3$
中空四脚ブロック	正層積	20	$W=0.04 H^3$	$W=0.06 H^3$
中空三角錐ブロック	正層積	11	$W=0.07 H^3$	$W=0.11 H^3$
テトラボッド	正層積	9	$W=0.09 H^3$	$W=0.13 H^3$

 W : ブロック 1個の重量 (t) H : 設計波高 (m)

ブロックの乱積の K_d の値はそれぞれテトラボッド $K_d=6.6$, 中空三角錐ブロック $K_d=7.6$ である。

これらの実験結果を参考にして各種ブロックの安定重

量を求めたのが図-7である。図中の安定限界といふのは、移動あるいは転落したブロックの数が積んでいるブロックの1%以下である場合をさす。移動とは前後左右に大きく動搖したり、転倒したり、ずれた場合をさし、転落とは転がり落ちた場合をさす。安定限界重量に1.5の安全率をとったものが安定重量である。

4. 合掌ブロックの消波効果

(1) 実験方法

異形ブロックの消波効果は、おもに越波量の多少によって判断される。この越波量は、侵入波が消波堤に対してどの位置で碎けるかによって大きく3つの領域（沖側碎波の領域、のり先碎波の領域、のり面碎波の領域）に分類される。消波堤の被覆ブロックとして合掌ブロックを用い、これら3つの領域に対する消波効果を調べた。

実験には、風洞付波浪水槽を用いた。実験を行なった消波堤断面を図-8、9に示す。図-8は消波堤を浅い水深に設置した場合を示す。この断面で沖側、のり先、のり面碎波の3領域の実験を行なった。図-9は深い水深に設置した場合で、のり面碎波の領域の実験を行なった。それぞれの実験条件を表-3に示す。消波堤ののり

図-8 浅い水深における消波堤実験断面図
(実験縮尺: 1/7.5)

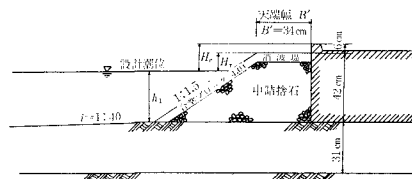


図-9 深い水深における消波堤実験断面図
(実験縮尺: 1/20)

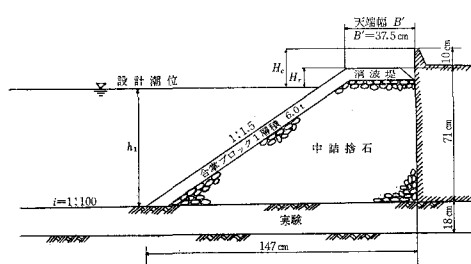


表-3 実験条件

条件	前面水深	浅い場合	深い場合
前面水深 h_1 (m)		3.0~6.0	8.0~14.0
実験用いたブロック重量 (t)		4.0	6.0
天端幅 B' (m)		6.0	7.5
周期 T_p (sec)		6.0~10	6.0~13
波高 H_p (m)		2.5~5.0	3.5~5.0
碎波領域		のり面、のり先、沖側	のり面

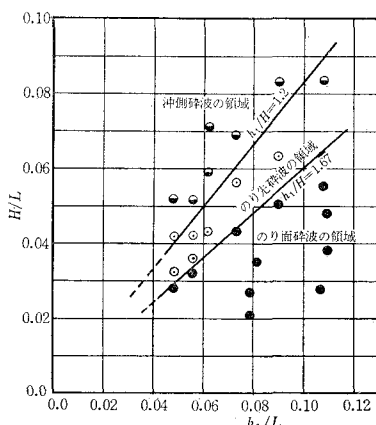
勾配はいずれも1割5分で、合掌ブロック1層積とした。消波堤の中詰捨石は平均径 $d_m = 3.5$ cm の碎石を用いた。

なお比較のためテトラポッド、中空三角錐ブロック、中空N₁型、N₃型を正層2層積にして同一断面で実験を行なった。

(2) 実験結果と考察

実験を行なった波浪特性を図-10に示す。侵入波が消波堤に対してどの位置に碎けるかを図中に示す。この図より、上記3つの領域を分類すると大体つきの値になる。

図-10 波浪特性



$$\begin{aligned} \text{沖側碎波の領域} \quad & h_1/H < 1.2 \\ \text{のり先碎波の} \quad & 1.2 \leq h_1/H \leq 1.7 \\ \text{のり面碎波の} \quad & h_1/H > 1.7 \end{aligned}$$

図-11(1~3)は、それぞれ沖側、のり先、のり面碎波の実験状況を示す。実験条件は、前面水深 h_1 が異なり、周期 T_p 、波高 H_p 、設計潮位上護岸高さ H_c 、消波堤天端高さ H_r は同じである。それぞれの(a)は波の破ける状況を、(b)は越波状況を示す。図-11からのり先碎波の領域の越波量が多く、ついでのり面碎波、沖側碎波の順である。

図-12(1~3)は相対越波量 q_i/q_0 (q_i : 実測値, $q_0 = HL/2\pi$) をパラメーターとし、 H_c/H , H_r/H との関係をそれぞれ沖側碎波、のり先碎波、のり面碎波の場合について求めたものである。図-12(3)は浅い場合と深い場合の両方の実験結果を含む。

図中の曲線は、文献5)において、中空四脚ブロック2tを用いて得られたものである。

文献6)において、 q_i/q_0 と H_c/H , H_r/H のグラフにおいて、のり面碎波領域に適用する次式を提案した。

$$\frac{H_c}{H} + \frac{H_r}{H} = c \quad \dots \dots \dots (1)$$

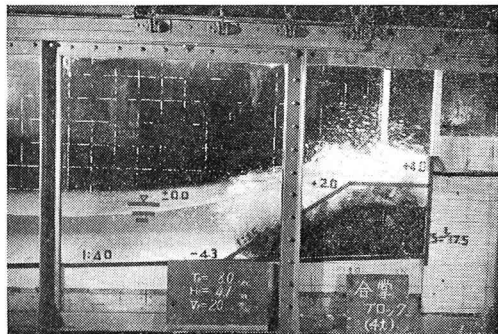
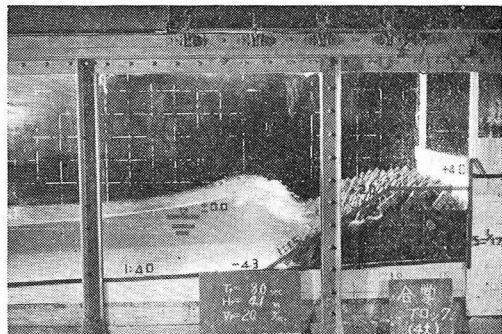
ただし、定数 c は消波ブロックの種類と q_i/q_0 によって変わること。

図-11 消波実験状況

実験条件: $T_p = 8.0 \text{ sec}$ $H_p = 4.0 \sim 4.1 \text{ m}$ $H_c = 4.0 \text{ m}$ $H_r = 2.0 \text{ m}$ $h_{1p} = -4.3 \sim -12.6 \text{ m}$
 (1) 沖側碎波 ($h_{1p} = -4.3 \text{ m}$)
 $h_1/H = 1.05$ $H_c/H = 0.98$ $H_r/H = 0.49$ $q_i/q_0 = 4.7 \times 10^{-4}$

(a)

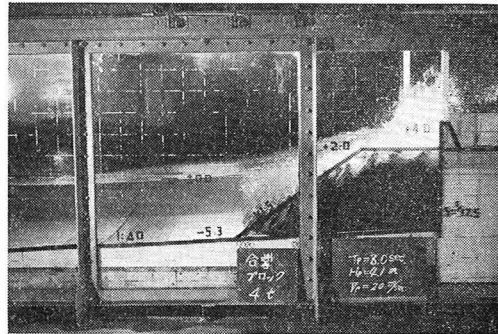
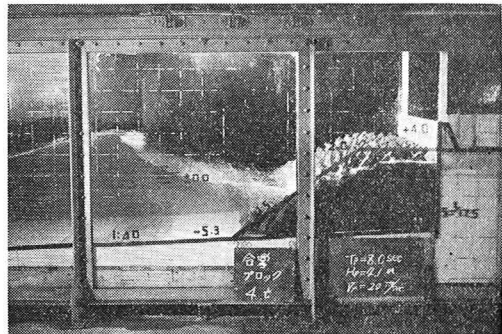
(b)

(2) のり先碎波 ($h_{1p} = -5.3 \text{ m}$)

$h_1/H = 1.29$ $H_c/H = 0.98$ $H_r/H = 0.49$ $q_i/q_0 = 5.0 \times 10^{-8}$

(a)

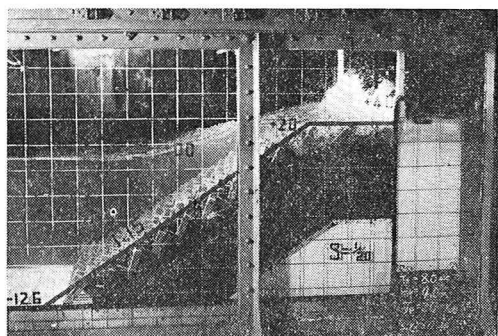
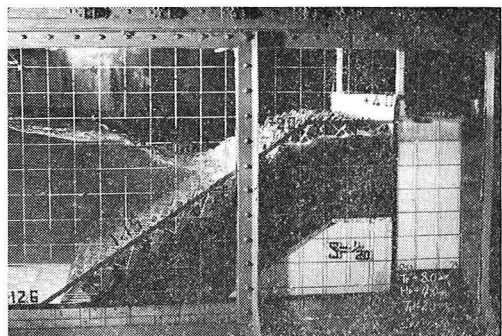
(b)

(3) のり面碎波 ($h_{1p} = -12.6 \text{ m}$)

$h_1/H = 3.15$ $H_c/H = 1.00$ $H_r/H = 0.50$ $q_i/q_0 = 3.6 \times 10^{-8}$

(a)

(b)



今回行なった、沖側、のり先碎波の領域をも含めた実験式として新たに次式を提案する。

$$\frac{H_c}{H} + a \frac{H_r}{H} = c \quad \dots \dots \dots \quad (2)$$

ただし、定数 a は消波ブロックの種類と碎波領域によって変化する。

図-12 (1~3) より合掌ブロックの実験係数 a, c を求めると、表-4 のとおりである。中空 N_1 型、 N_3 型

ブロックの係数は文献 6) による。合掌ブロックは中空 N_1 型と N_3 型の中間に位置している。

図-13 は深い水深の同一消波堤断面において、各種ブロック 6 t の消波効果を比較したものである。図-13 より合掌ブロックは正層 1 層積で、他の消波ブロック正層 2 層積と劣らない消波能力をもっていることがわかる。

図-14 は、合掌ブロックの正層積と乱積の比較であ

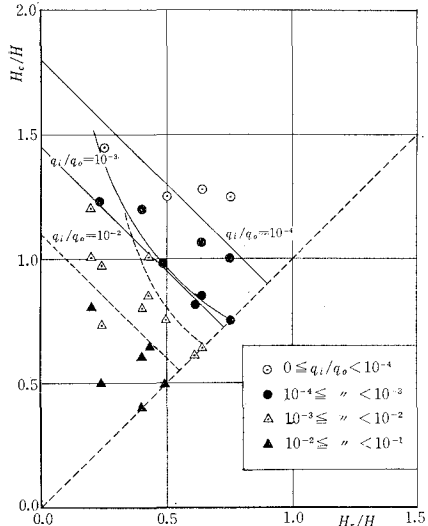
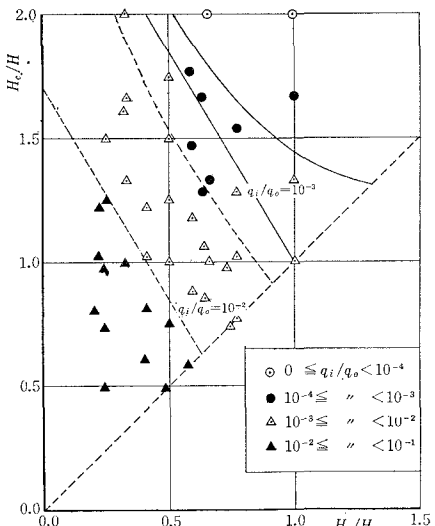
図-12 H_c/H と H_r/H との関係(合掌ブロック)(1) 沖側碎波 ($h_i/H < 1.2$)(2) のり先碎波 ($1.2 \leq h_i/H \leq 1.7$)

図-13 各種消波ブロックの比較

ブロックの種類	諸元	ブロック積方	100 m ² 当りの個数	空げき率
入テトラボック	6.0 t	2層積	42 個	52%
△ 中空三角錐	6.0 t	2 層	42 層	66%
N ₁ 中空 N ₁ 型ブロック	6.0 t	2 層	45 層	53%
N ₃ 中空 N ₃ 型ブロック	6.0 t	2 層	49 層	61%
× 合掌ブロック	6.0 t	1 層	31 層	63%

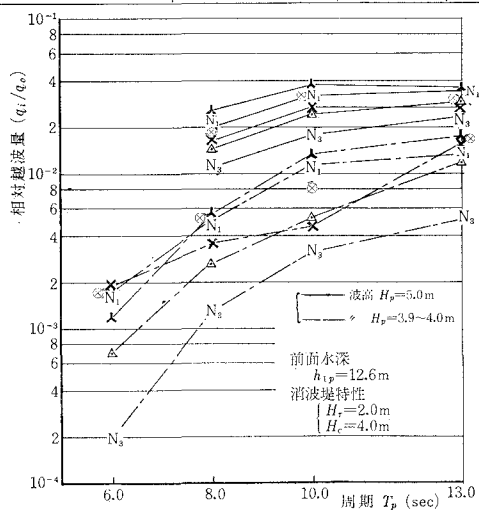


表-4 実験係数

$$\frac{H_c}{H} + a \frac{H_r}{H} = c$$

ブロックの種類	碎波領域	勾配	定 数 c		
			$q_i/q_o = 10^{-4}$	$q_i/q_o = 10^{-3}$	$q_i/q_o = 5 \times 10^{-3}$
合掌ブロック	沖側碎波	1.0	1.8	1.45	1.2
	のり先碎波	1.7	—	2.7	2.0
	のり面碎波	1.0	2.4	1.9	1.65
中空 N ₁ 型ブロック	〃	1.0	2.5	2.0	1.75
中空 N ₃ 型ブロック	〃	1.0	2.3	1.8	1.55

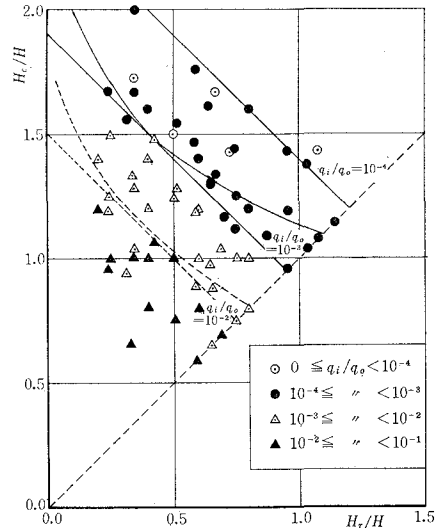
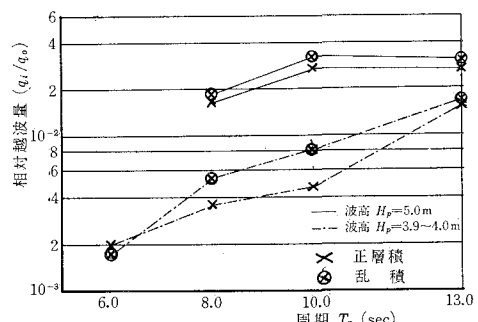
(3) のり面碎波 ($h_i/H > 1.7$)

図-14 合掌ブロック正層積と乱積の比較

前面水深: $h_p = 12.6 \text{ m}$ 消波堤特性: $H_r = 2.0 \text{ m}$, $H_c = 4.0 \text{ m}$ 

ブロック名	諸元	ブロック積方	100 m ² 当りの個数	空げき率
合掌ブロック	正層1層	6.0 t	31 個	63%
	乱積1層	6.0 t	31 個	63%

る。乱積の場合でも消波能力は正層積とほぼ同じであることがわかる。

5. 結論

以上の検討の結果、合掌ブロックの主な特徴をあげるところである。

(1) 合掌ブロックは正層積および乱積、いずれの場合にもブロック相互のかみ合せが強固であるので転倒に対してきわめて安全である。また脚が捨石にくい込むので滑動に対してもきわめて安全である。

(2) 合掌ブロックは正層1層積で他の消波ブロックの正層2層積に劣らない消波能力をもっている。乱積の場合でも消波能力は正層積とほぼ同じである。表-4より、許容越波量に対する設計潮位上の護岸の天端高さ H_c 、消波堤の天端高さ H_r を求めることができる。

(3) 合掌ブロックは1層積で安定性、消波効果が良

いので、使用個数が少なくてすむ。また安定性を必要とするときは密に積み、とくに消波効果を期待するときは、粗に積むことによって使用目的に合った積み方ができる。

参考文献

- 1) 永井莊七郎：消波用中空ブロックに関する研究、第6回海岸工学講演集、1959.11.
- 2) 永井・上田：風と波を考慮した海岸堤防の形状と構造に関する研究、第7回海岸工学講演集、1960.11.
- 3) 永井・玉井・上田・高田：新しい消波用コンクリートブロックに関する研究、第8回海岸工学講演集、1961.9.
- 4) 永井・久保・玉井・上田：防波堤および海岸堤防前面におかれた消波ブロックの効果について、第8回海岸工学講演集、1961.9.
- 5) 永井・高田：海岸堤防の越波における消波堤の効果、第11回海岸工学講演集、1964.11.
- 6) 永井・大坪・遠藤：深い水深における消波堤に関する研究、第14回海岸工学講演集、1967.10.
- 7) 土木学会文献調査委員会：消波用異形ブロック、土木学会誌、Vol. 49, No. 4, 1964.